



REGIONE
PUGLIA



PROVINCIA
DI BARI



COMUNE
DI TORITTO



COMUNE
DI PALO DEL COLLE



COMUNE
DI GRUMO APPULA

REALIZZAZIONE DI IMPIANTO AGRIVOLTAICO DESTINATO AL PASCOLO DI OVINI E PRODUZIONE DI ENERGIA ELETTRICA DA FONTE RINNOVABILE FOTOVOLTAICA DA UBICARSI IN AGRO DI TORITTO (BA) DELLA POTENZA DI CIRCA 30 MW E DELLE RELATIVE OPERE DI CONNESSIONE ALLA RETE DI TRASMISSIONE DELL'ENERGIA ELETTRICA NAZIONALE (RTN) MEDIANTE CAVIDOTTO IN MEDIA TENSIONE COLLEGATO ALLA STAZIONE RTN PALO DEL COLLE (BA) ED IMPIANTO DI PRODUZIONE E DISTRIBUZIONE DI IDROGENO IN AGRO DI GRUMO APPULA (BA) ALIMENTATO DALLO STESSO IMPIANTO FV

Potenza nominale cc: 30,38 MWp - Potenza in immissione ca: 29,97 MVA

ELABORATO

S.I.A. - DESCRIZIONE DEL PROGETTO

IDENTIFICAZIONE ELABORATO

Livello progetto	Codice pratica	Documento	Codice elaborato	n° foglio	n° tot. fogli	Nome file	Data	Scala
PD	--	R	2.23_03	-	-	R_2.23_03_SIA_DESCRPROG.pdf	02/2022	n.a.

REVISIONI

Rev. n°	Data	Descrizione	Redatto	Verificato	Approvato
00	02/02/2022	1° Emissione	VPI	LZU	GZU

PROGETTAZIONE:

MATE System Unipersonale Srl

Via Papa Pio XII, n.8 | 70020 - Cassano delle Murge (BA)

tel. +39 080 3072072

mail: info@matesystemsrl.it | pec: matesystem@pec.it



F4 INGEGNERIA

Via Di Giura - Centro Direzionale, 85100 Potenza
tel. +39 0971 1944797 - Fax +39 0971 55452
mail: info@f4ingegneria.it pec: f4ingegneria@pec.it



DIRITTI Questo elaborato è di proprietà della Banzi Solare S.r.l. pertanto non può essere riprodotto né integralmente, né in parte senza l'autorizzazione scritta della stessa. Da non utilizzare per scopi diversi da quelli per cui è stato fornito.

PROPONENTE:
BANZI SOLARE S.R.L.
S.P 238 Km 52.500
ALTAMURA

PARTNERSHIP:





REG. PUGLIA – PROV. DI BARI – COMUNI DI TORITTO, PALO DEL COLLE, GRUMO APPULA
Realizzazione di impianto agrifotovoltaico destinato a pascolo di ovini e produzione di energia elettrica da fonte rinnovabile fotovoltaica da ubicarsi in agro di Toritto (BA) incluse le relative opere di connessione alla RTN nel Comune di Palo del Colle (BA) e di impianto di produzione e distribuzione di idrogeno verde in area industriale dismessa nel Comune di Grumo Appula (BA) alimentato dallo stesso impianto fotovoltaico
S.I.A. – DESCRIZIONE DEL PROGETTO

Sommario

1	Premessa	2
2	Inquadramento Territoriale	5
3	Riferimenti normativi.....	6
4	Descrizione del progetto	8
5	Riferimenti bibliografici	17





1 Premessa

Il presente Studio di impatto ambientale, presentato da Banzi Solare S.r.l. in qualità di proponente, è stato redatto in riferimento al progetto finalizzato alla realizzazione di impianto agrifotovoltaico destinato a pascolo di ovini e produzione di energia elettrica da fonte rinnovabile fotovoltaica da ubicarsi in agro di Toritto (BA) incluse le relative opere di connessione alla RTN nel Comune di Palo del Colle (BA) e di impianto di produzione e distribuzione di idrogeno verde in area industriale dismessa nel Comune di Grumo Appula (BA) alimentato dallo stesso impianto fotovoltaico.

Il progetto ricade al punto 2 dell'elenco di cui all'allegato II alla Parte Seconda del d.lgs. n. 152/2006 e s.m.i., come modificato dalla legge 208/2021, "*impianti fotovoltaici per la produzione di energia elettrica con potenza complessiva superiore a 10 MW*", pertanto risulta soggetto al procedimento di Valutazione di Impatto Ambientale per il quale il Ministero dell'Ambiente e della Tutela del Territorio e del Mare di concerto con il Ministero dei Beni e delle Attività Culturali e del Turismo, svolge il ruolo di autorità competente in materia.

Lo Studio di Impatto Ambientale (SIA), ai sensi di quanto previsto dalla normativa vigente e dalle linee guida SNPA, è corredato da una serie di allegati grafici, descrittivi, da eventuali studi specialistici e da una Relazione di Sintesi non Tecnica destinata alla consultazione da parte del pubblico. La normativa vigente in materia di VIA, infatti, richiede che la documentazione fornita dal proponente all'autorità competente comprenda un documento atto a dare al pubblico informazioni sintetiche e comprensibili anche per i non addetti ai lavori (amministratori ed opinione pubblica) sulle caratteristiche dell'intervento ed i prevedibili impatti ambientali sul territorio in cui dovrà essere inserita l'opera.

Un SIA è un documento tecnico che deve descrivere "*le modificazioni indotte nel territorio conseguenti la realizzazione di un determinato progetto* in quanto esso può causare un certo numero di impatti valutabili in termini di variazione qualitativa o quantitativa di una o più risorse/componenti ambientali, quali, ed esempio, l'inquinamento delle acque superficiali, il consumo di acque sotterranee, le emissioni sonore (il rumore), la modifica percettiva del paesaggio.

Il SIA deve fornire all'autorità competente tutte le informazioni utili alla decisione di concessione dell'autorizzazione:

- finalità dell'opera;
- caratteristiche della fase di funzionamento;
- motivi della scelta di ubicazione del progetto in una determinata località;
- conformità alle previsioni degli strumenti di programmazione e pianificazione territoriale e di settore relativi al sito individuato;
- coerenza del progetto con gli obiettivi e le strategie definiti a livello locale, regionale e nazionale;
- valutazione della qualità ambientale del territorio coinvolto dal progetto con l'individuazione delle componenti più "sensibili" (ad es. la fauna e la flora, la qualità dell'aria, il paesaggio, ...) e della loro probabile evoluzione a seguito dell'intervento.



Ogni cittadino può esercitare il diritto di prendere visione del progetto e del relativo SIA (ed in particolare della sintesi non tecnica che rappresenta una sorta di guida rapida alla consultazione di un insieme di documenti di rilevanti dimensioni e di non sempre facile lettura) e presentare eventuali osservazioni e segnalazioni relative al progetto ed al suo impatto sull'ambiente e sul territorio all'autorità competente per la Valutazione di Impatto Ambientale prima che questa si esprima in merito alla sua autorizzazione.

Il presente studio è stato redatto seguendo le indicazioni contenute nella normativa vigente a livello nazionale (D. lgs. n. 152/2006, Allegato VII, Parte II) e regionale (D Lgs. n. 11/2001, D. Lgs. n. 4/2014, R.R. Puglia 24/2010 e D.G.R. 2122/2012) e la Linea Guida SNPA 28/2020 ed è stato organizzato in tre principali sezioni come di seguito indicato.

Analisi di motivazioni e coerenze

Riguarda gli elementi conoscitivi ed analitici utili ad inquadrare l'opera nel contesto della pianificazione territoriale vigente a livello nazionale, regionale, provinciale e comunale, nonché nel quadro definito dalle norme settoriali vigenti ed in itinere.

Tale sezione, quindi, comprende:

- analisi e sintesi degli strumenti di pianificazione e programmazione territoriale e di settore, vigenti e previsti, con i quali l'opera proposta interagisce;
- verifica delle interazioni dell'opera con gli atti di pianificazione e della coerenza della stessa con le relative prescrizioni (vincoli di tipo territoriale, urbanistico e/o ambientale).

Analisi di progetto

Riguarda le caratteristiche fisiche e funzionali del progetto durante le fasi di costruzione, di esercizio e di dismissione dell'opera.

In particolare tale sezione riporta:

- analisi delle principali caratteristiche del progetto, con indicazione del fabbisogno e del consumo di energia, della natura e della quantità di materiali e risorse naturali impiegati (quali acqua, territorio, suolo e biodiversità);
- valutazione del tipo e della quantità dei residui e delle emissioni previsti (quali inquinamento dell'acqua, dell'aria, del suolo e del sottosuolo, rumore, vibrazione, luce, calore, radiazione) e della quantità e della tipologia di rifiuti prodotti durante le fasi di costruzione e di funzionamento;
- descrizione della tecnica prescelta, con riferimento alle migliori tecniche disponibili a costi non eccessivi, e delle altre tecniche previste per prevenire le emissioni degli impianti e per ridurre l'utilizzo delle risorse naturali, confrontando le tecniche prescelte con le migliori tecniche disponibili;
- esposizione dei criteri alla base della scelta localizzativa e tecnologica.

Analisi di contesto ambientale



Riguarda l'insieme delle conoscenze disponibili sulle caratteristiche dell'area coinvolta dall'opera, con l'obiettivo di individuare e definire eventuali ambiti di particolare criticità ovvero aree sensibili e/o vulnerabili.

Tale sezione, quindi, comprende:

- Analisi dello stato dell'ambiente (*scenario di base*) prima della realizzazione dell'opera ed in particolare dei fattori ambientali (popolazione e salute umana; biodiversità; suolo, uso del suolo e patrimonio agroalimentare; geologia e acque; atmosfera: aria e clima; sistema paesaggistico, ovvero paesaggio, patrimonio culturale, beni materiali) e degli agenti fisici (rumore; vibrazioni; campi elettrici, magnetici ed elettromagnetici; radiazioni ottiche; radiazioni ionizzanti).
- Analisi della compatibilità dell'opera: l'individuazione e la caratterizzazione dei potenziali impatti derivanti dalla realizzazione del progetto, ovvero la stima delle potenziali modifiche indotte sul contesto ambientale con la loro prevedibile evoluzione.
- Identificazione, se necessario, delle più opportune misure da adottare per ridurre o mitigare gli impatti del progetto significativi e negativi e, laddove queste non risultino sufficienti, delle opere di compensazione ambientale.

Lo Studio d'impatto ambientale è completato dall'analisi delle alternative possibili, relativamente a localizzazione e tecnologie oltre la cosiddetta "**opzione zero**", vale a dire la scelta di non realizzare il progetto.

Il contesto ambientale, in esame è stato analizzato attraverso documentazioni, studi e sopralluoghi.

Lo Studio è stato costruito facendo riferimento non solo alle relazioni specialistiche, ma anche alle elaborazioni, grafiche e testuali, del progetto definitivo in oggetto.



2 Inquadramento Territoriale

La localizzazione delle diverse componenti dell’impianto è stata definita attraverso una preliminare analisi di una porzione di territorio piuttosto vasta, che comprende diversi comuni della provincia sud-occidentale di Bari, tra cui Toritto, Grumo Appula e Palo del Colle (BA).

L’analisi di larga scala è stata condotta ai fini della selezione di possibili soluzioni alternative proposte ed in funzione delle quali sono stati sviluppati approfondimenti specifici descritti nel prosieguo del documento. A questo scopo all’interno dell’area vasta individuata si è considerato un buffer iniziale di 13 Km intorno al centroide dell’area suddetta.

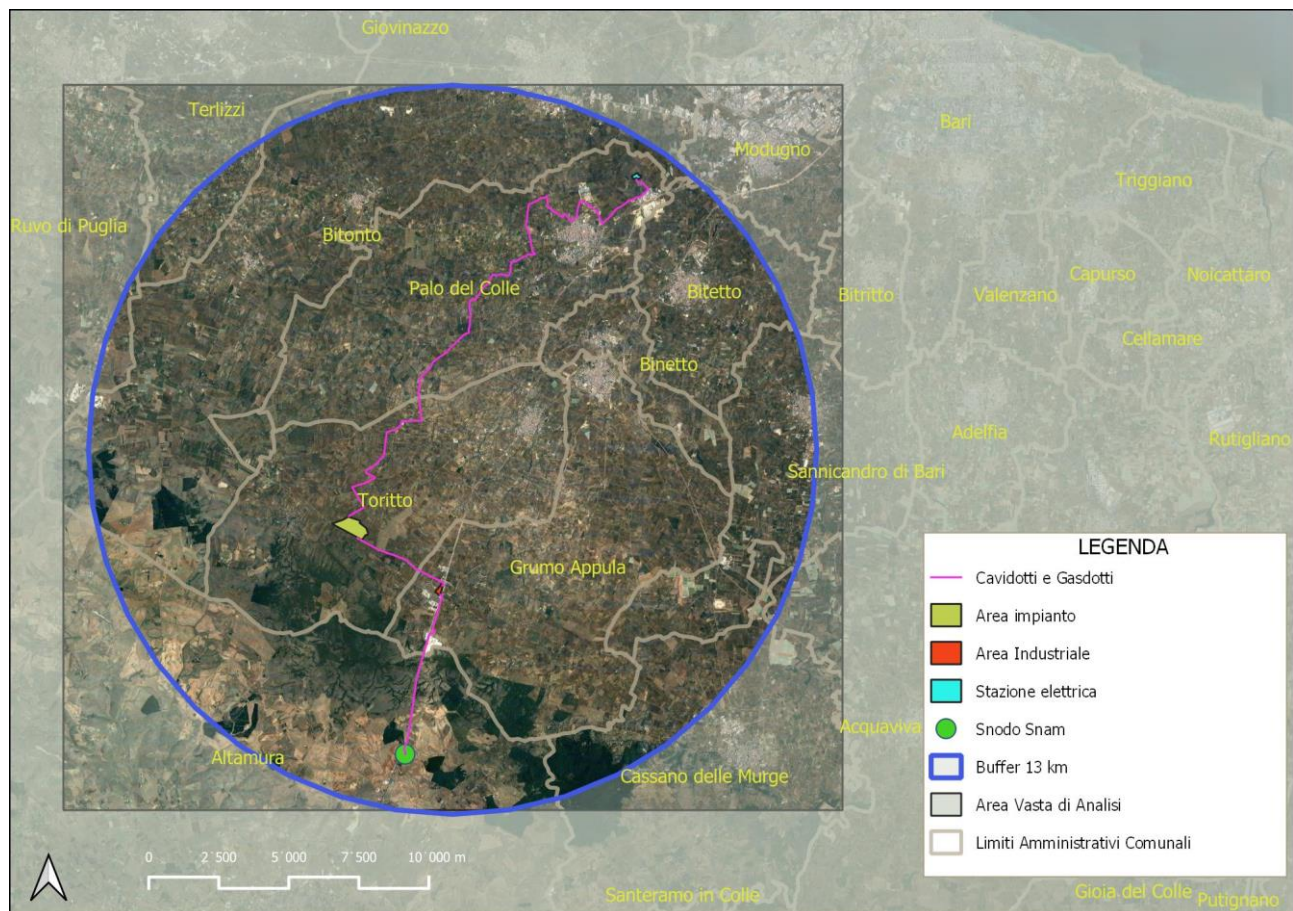


Figura 1: Indicazione di buffer di analisi su base ortofoto

Nell’area considerata sono presenti le seguenti reti infrastrutturali:

- la SS96 che collega Gravina in Puglia (e la vicina Basilicata) con Bari; le SP 89 e 97 da Nord-Ovest verso Sud-Est, 68 e 72 da Sud-Ovest verso Nord-Est, la SP71 da Sud verso Nord.
- La linea ferroviaria Bari-Taranto (RFI) e la linea Potenza-Bari (FAL) alla quale si riferisce la stazione di Mellitto, nel comune di Grumo Appula.
- Metanodotto SNAM Bari-Ferrandina.



3 Riferimenti normativi

La struttura del presente elaborato è conforme alle Linee Guida SNPA 28/2020 (Bertolini S. et al., 2020). Nella figura seguente si riporta sinteticamente lo schema logico seguito.

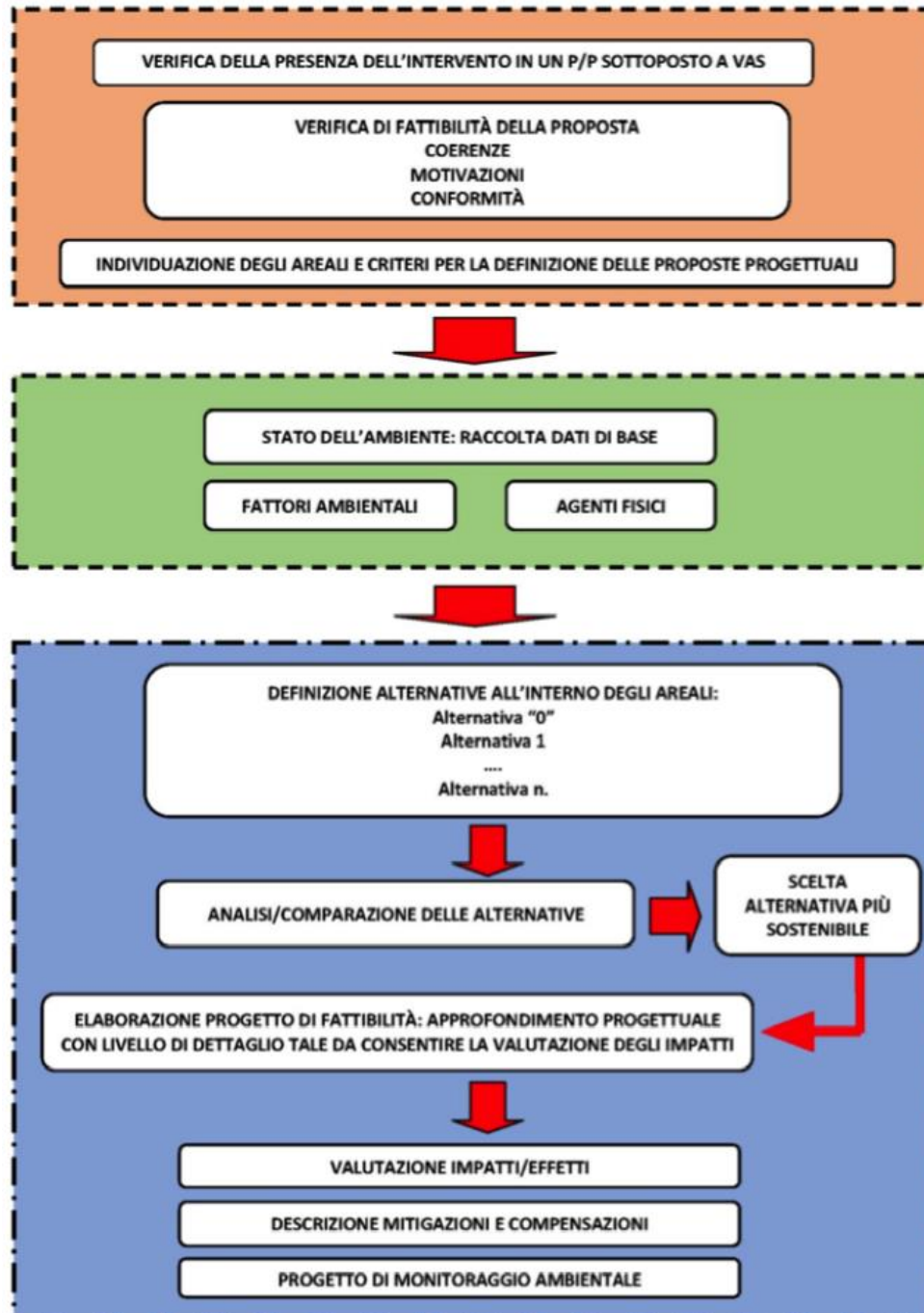


Figura 2: Schema di flusso: processo per la elaborazione del SIA (Fonte: Bertolini S. et al., 2020)



REG. PUGLIA – PROV. DI BARI – COMUNI DI TORITTO, PALO DEL COLLE, GRUMO APPULA
Realizzazione di impianto agrifotovoltaico destinato a pascolo di ovini e
produzione di energia elettrica da fonte rinnovabile fotovoltaica da ubicarsi in
agro di Toritto (BA) incluse le relative opere di connessione alla RTN nel
Comune di Palo del Colle (BA) e di impianto di produzione e distribuzione di
idrogeno verde in area industriale dismessa nel Comune di Grumo Appula
(BA) alimentato dallo stesso impianto fotovoltaico

S.I.A. – DESCRIZIONE DEL PROGETTO

Per quanto riguarda l'elenco dei riferimenti normativi nazionali e regionali applicabili al progetto in esame si rimanda all'Allegato 1 al presente studio di impatto ambientale.





4 Descrizione del progetto

Il progetto proposto consiste nella realizzazione di impianto agrifotovoltaico destinato a pascolo di ovini e produzione di energia elettrica da fonte rinnovabile fotovoltaica da ubicarsi in agro di Toritto (BA) incluse le relative opere di connessione alla RTN nel Comune di Palo del Colle (BA) e di impianto di produzione e distribuzione di idrogeno verde in area industriale dismessa nel Comune di Grumo Appula (BA) alimentato dallo stesso impianto fotovoltaico.

Impianto agrovoltaico

L'impianto fotovoltaico per la produzione di energia elettrica, come meglio indicato nella relazione tecnico-descrittiva, avrà le seguenti caratteristiche:

- potenza installata lato DC: 30,38 MWp;
- potenza dei singoli moduli: 670 Wp;
- n. 5 cabine prefabbricate per la trasformazione MT/BT dell'energia elettrica ed altrettante cabine destinate ai servizi ausiliari di ciascun sottocampo;
- n. 1 cabina di raccolta MT;
- rete elettrica interna in bassa tensione alla tensione nominale di 993,2 V (tensione massima di una stringa elettrica) tra i moduli fotovoltaici e gli inverter;
- rete elettrica interna in bassa tensione tra gli inverter e la cabina di elevazione;
- rete elettrica interna in bassa tensione (220 / 380 V) per l'alimentazione dei servizi ausiliari di centrale (controllo, illuminazione, forza motrice, ecc.);
- rete elettrica interna in media tensione a 30 kV per il collegamento in entra-esce tra le varie stazioni di trasformazione e la cabina di raccolta;
- rete telematica interna di monitoraggio per il controllo dell'impianto fotovoltaico.

Nel complesso l'intervento di realizzazione dell'impianto fotovoltaico, conterà delle seguenti macro - attività:

- preparazione dell'area e montaggio della recinzione perimetrale;
- installazione dei moduli fotovoltaici;
- installazione delle cabine di trasformazione, delle cabine per servizi ausiliari e della cabina di raccolta;
- realizzazione dei collegamenti elettrici di campo;

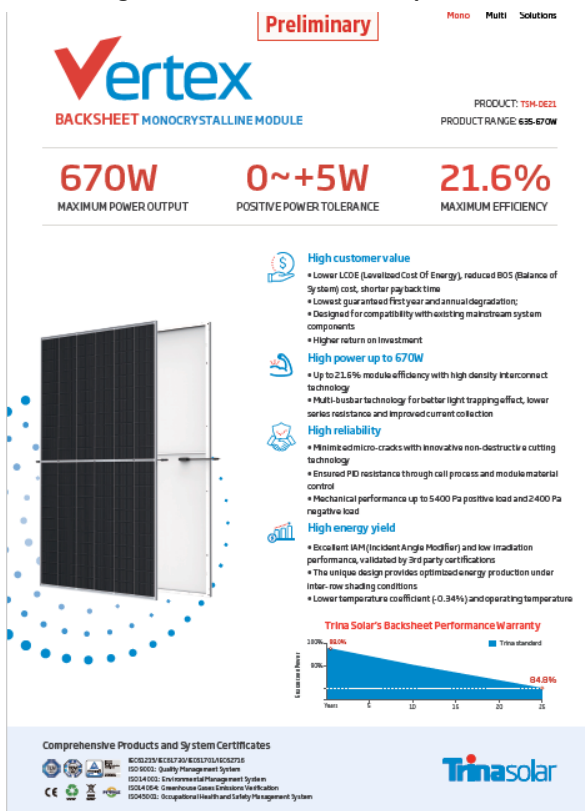


Il progetto del presente impianto prevede l'utilizzo di **moduli fotovoltaici monofacciali con struttura mobile ad inseguitore solare mono-assiale, est-ovest.**

Questa tecnologia consente, attraverso la variazione dell'orientamento dei moduli, di mantenere la superficie captante sempre perpendicolare ai raggi solari, mediante l'utilizzo di un'apposita struttura che, ruotando sul suo asse Nord-Sud, ne consente la movimentazione giornaliera da Est a Ovest, coprendo un angolo sotteso tra $\pm 60^\circ$.

Le celle solari costituenti i moduli fotovoltaici sono protette frontalmente da un vetro temperato anti-riflesso ad elevata trasmittanza, tale da conferire al pannello un aspetto opaco e non determinare fenomeni di abbagliamento, garantendo nel contempo un incremento della produttività.

Figura 3 - caratteristiche dei pannelli



L'intera progettazione e realizzazione dell'opera sono concepite nel rispetto del contesto naturale in cui l'impianto è inserito, ponendo alla base del progetto i concetti di reversibilità degli interventi e salvaguardia del territorio; **al fine di ridurre al minimo le possibili interferenze con il suolo e il paesaggio non verrà usato cemento.**

Nella struttura ad inseguitore solare i moduli fotovoltaici sono fissati ad un telaio in acciaio, che ne forma il piano d'appoggio, a sua volta opportunamente incernierato ad un palo, anch'esso in acciaio, da infiggere direttamente nel terreno. Questa tipologia di struttura eviterà l'esecuzione di opere di calcestruzzo e faciliterà enormemente sia la costruzione che la dismissione dell'impianto a fine vita, diminuendo drasticamente le modifiche subite dal suolo. L'impianto fotovoltaico in oggetto sarà composto da 45.344 moduli fotovoltaici di nuova generazione in silicio monocristallino di potenza nominale pari a 670 Wp/cad. Le celle fotovoltaiche di cui si compone ogni modulo sono protette verso

l'esterno da un vetro temperato ad altissima trasparenza e da un foglio di tedlar, il tutto incapsulato sotto vuoto ad alta temperatura tra due fogli di EVA (Ethylene / Vinyl / Acetate).

L'insieme di 26 moduli, collegati tra loro elettricamente in serie, formerà una stringa elettrica; il collegamento elettrico tra i vari moduli avverrà nella maggior parte dei casi direttamente sotto le strutture di sostegno dei pannelli con cavi esterni graffettati alle stesse. Saranno installate un totale di 1.744 stringhe elettriche; l'insieme di più stringhe fotovoltaiche, collegata in parallelo tra loro, costituirà un sottocampo; complessivamente sono previsti n.5 sottocampi ed ognuno afferirà ad una cabina di trasformazione MT/BT. La conversione della corrente da continua ad alternata è affidata



ad inverter di stringa, in numero complessivo pari a 90. L'inverter scelto per il presente progetto avrà potenza nominale in c.a. pari a 333kVA, con potenza nominale complessiva in c.a. sarà pari a 29,97MVA. L'energia in corrente alternata uscente dall'inverter sarà trasmessa al trasformatore per la elevazione da bassa a media tensione. Si tratta di un sistema che combina trasformatore e quadro MT in un singolo cabinato pre-assemblato, avente dimensioni pari a ca 6,058 x 2,438 m e da installare su sostegni flottanti.

L'energia uscente dalle cabine di sottocampo sarà convogliata verso la cabina di raccolta, che avrà la funzione di convogliare l'energia in MT verso la stazione AT. **Tale cabina sarà prefabbricata e sopraelevata rispetto al suolo su sostegni flottanti.**

Dalla cabina di raccolta partirà il cavidotto in media tensione per la stazione AT. Oltre a detti locali, è prevista la realizzazione di altri manufatti che saranno dedicati ad ospitare i quadri di alimentazione e controllo dei servizi ausiliari, quali impianti di illuminazione, videosorveglianza, antintrusione, movimentazione tracker, ecc. Nell'area dell'impianto fotovoltaico sarà realizzata la rete di terra per la protezione dai contatti indiretti e le fulminazioni; alla rete saranno collegate tutte le strutture metalliche di sostegno oltre che tutte le masse dei componenti elettrici di classe I. La rete di terra sarà costituita da dispersori in acciaio zincato idonei alla posa nel terreno ed un conduttore di terra in rame nudo (95 mmq), interrati ad una profondità di almeno 1,55 m. A tale rete saranno collegate tutte le strutture metalliche di supporto dei moduli e la recinzione. Intorno alle cabine di trasformazione, dei servizi ausiliari e di smistamento l'impianto di terra sarà costituito da una maglia realizzata con conduttori nudi di rame a cui saranno collegati, mediante conduttori o sbarre di rame, i morsetti di terra dei vari apparecchi, i dispositivi di manovra ed i supporti dei terminali dei cavi. In prossimità di tali supporti sarà previsto un punto destinato alla messa a terra delle schermature dei cavi stessi. L'impianto di terra sarà rispondente alle normative vigenti, in particolare alla Norma CEI 11-1 "Impianti elettrici con tensione superiore a 1 kV in corrente alternata" ed alla Guida CEI 11-37 "Guida per l'esecuzione degli impianti di terra di stabilimenti industriali per sistemi di I, II e III categoria". Per maggiori dettagli sul dimensionamento dello stesso si rimanda alla relazione specialistica. L'impianto fotovoltaico così descritto sarà dotato di un sistema di gestione, controllo e monitoraggio (impianto di videosorveglianza, impianto di illuminazione, impianto di antintrusione, FM e illuminazione cabina di controllo) che sarà installato in un apposito vano all'interno della cabina destinata ad i servizi ausiliari.

L'impianto di videosorveglianza è composto da telecamere a raggi infrarossi che permettono l'attivazione dell'impianto di illuminazione solo in caso di attivazione del sistema antintrusione.

La recinzione sarà realizzata con un muretto a secco alto ca. 1,00 mt e una rete metallica maglia larga (80 x 100 mm) zincata plastificata di colore verde (RAL 6005) in materiale ecocompatibile, di altezza pari a ca. 1,00 mt, e sarà fissata al terreno con pali verticali di supporto, a sezione circolare, Ø48 di colore verde (RAL 6005), distanti gli uni dagli altri 2,5 m con eventuali plinti cilindrici. **Con lo scopo di non ostacolare gli spostamenti della piccola fauna terrestre e il deflusso delle acque superficiali, tuttavia, è prevista la realizzazione di una luce libera tra il piano campagna e la parte inferiore della rete di 30 cm ogni 25 metri, infittita in corrispondenza di aree a significativa**



pericolosità idraulica.

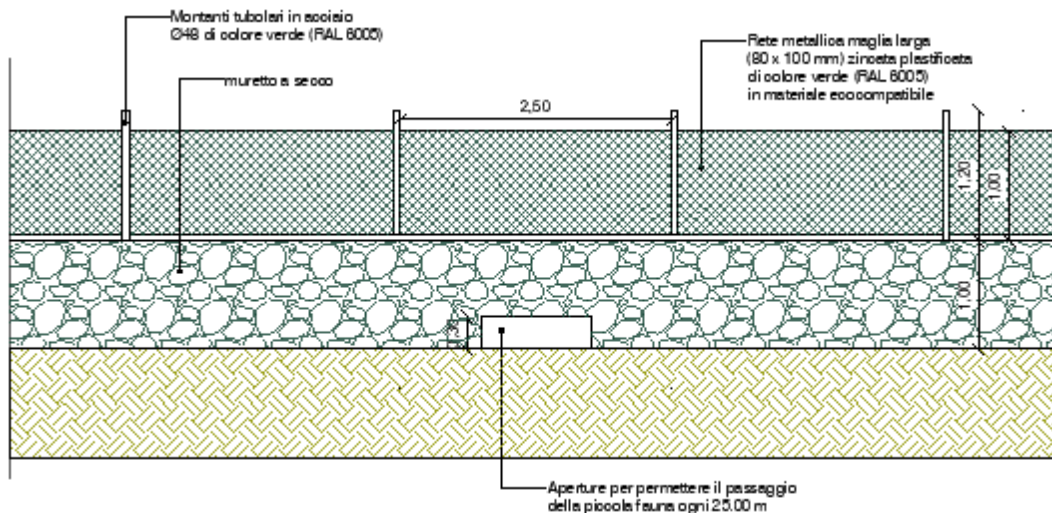


Figura 4 – schema di massima della recinzione

Impianto di produzione e distribuzione di idrogeno

L'impianto di produzione di idrogeno sarà costituito da n.10 elettrolizzatori H-Tec Serie-ME: ME 450/1400 della potenza di 1MW cadauno, con produzione unitaria di 450 Kg/giorno alimentati in bassa tensione a 400V con 350Kg/h di acqua potabile. Per fornire acqua potabile agli elettrolizzatori, c'è la necessità di utilizzare un addolcitore che elimini il calcare, essendo l'acqua pugliese particolarmente dura.

Gli elettrolizzatori alimentati dal parco fotovoltaico nelle ore diurne, saranno alimentati da un sistema di accumulo costituito da n.15 storage con capacità nominale di 4200kVA alimentati in bassa tensione a 400V, per un totale di 60MW.

L'impianto per la produzione e distribuzione di idrogeno verde avrà le seguenti caratteristiche:

- cabina di smistamento MT
- cabine di trasformazione MT/BT;
- rete elettrica di collegamento in bassa tensione;
- addolcitore industriale;
- elettrolizzatori da 1MW/cad.;
- storage da 4MW/cad.;
- sistema di stoccaggio di idrogeno;
- realizzazione di una riserva idrica per la produzione di idrogeno;



- realizzazione di un'area utile per i VVF;
- installazione di muri tagliafiamma;
- separatore di liquidi;
- pipelines per la distribuzione di idrogeno (Rete SNAM, Ferrovie dello Stato);
- sistema di compressori e pompe per il rifornimento delle auto ad idrogeno;
- realizzazione di una viabilità interna;
- strutture adibite alle attività didattiche ed uffici.

L'intervento terminerà con l'edificazione di una stazione di servizio, completa anche di punti di ricarica per auto elettriche fast e superfast, punto ristoro e parcheggio.

Il sito verrà alimentato dal parco fotovoltaico con una potenza in immissione pari a 29,97 MW. Durante le ore notturne il sistema di accumulo interverrà per garantire una continuità di produzione di idrogeno.

L'idrogeno prodotto sarà distribuito totalmente fra la Rete Nazionale SNAM e la stazione di rifornimento per auto alimentate da fuel cell e per Ferrovie Appulo Lucane. Il Soggetto Responsabile, così come definito, ex art. 2, comma 1, lettera g, del DM 28 luglio 2005 e s.m.i., è la società "Banzi Solare S.r.l." che dispone delle autorizzazioni all'utilizzo dell'area su cui sorgerà l'impianto in oggetto

L'elemento cardine di un impianto di produzione di idrogeno è la cella elettrolitica, di cui si compongono gli elettrolizzatori, che è composta dai seguenti componenti:

- Due elettrodi
- Un elettrolita
- Un separatore

Nella cella elettrolitica i due elettrodi, uno positivo e uno negativo, sono collegati elettricamente ed immersi in un liquido conduttore chiamato elettrolita, il quale è costituito solitamente da una soluzione acquosa di sali, acidi o basi. Il separatore o diaframma divide l'interno della vasca in due parti, ed ha la funzione di evitare il mescolamento dell'idrogeno e dell'ossigeno gassosi che generano agli elettrodi. Tuttavia deve consentire il libero passaggio degli ioni e tenere separati i due gas. Più celle di questo tipo, collegate solitamente in serie e poste in un unico contenitore, costituiscono l'elettrolizzatore. L'**elettrolisi** è una reazione non spontanea di ossido riduzione che avviene mediante a una differenza di potenziale. Ciò consente la trasformazione di



energia elettrica in energia chimica. Quindi si sfrutta l'energia elettrica per far avvenire reazioni redox non spontanee, aventi cioè $\Delta G > 0$, dove con ΔG si intende l'energia libera di Gibbs (o entalpia di reazione). Sotto l'azione del campo elettrico gli ioni, liberi di muoversi, cessano il loro normale movimento caotico per dirigersi ordinatamente, quelli positivi verso l'elettrodo negativo, quelli negativi verso l'elettrodo positivo. Giunti alla superficie degli elettrodi, di solito costruiti con materiale metallico o grafite, gli ioni si scaricano; in particolare, gli ioni positivi, denominati cationi, si riducono acquistando elettroni dal catodo (negativo), mentre gli ioni negativi, detti anioni, si ossidano cedendo elettroni all'anodo (positivo). In sintesi sui due elettrodi sono avvenute due semi-reazioni, che nel complesso costituiscono una reazione di ossido-riduzione. Da osservare come nell'elettrolisi l'anodo è il polo positivo, sede della reazione di ossidazione, mentre il catodo è il polo negativo, sede della reazione di riduzione.

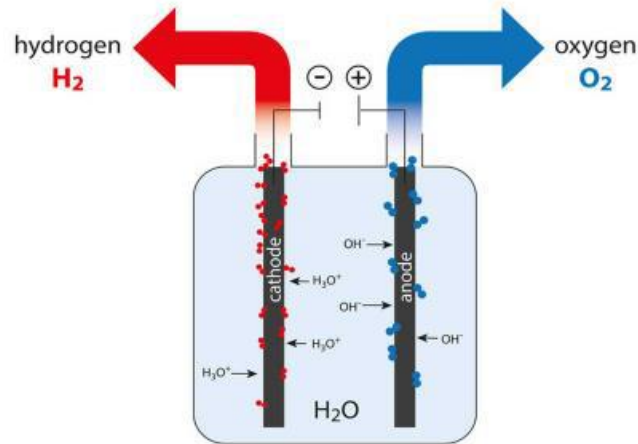


Figura 5 - Cella elettrolitica

Qualunque processo elettrolitico è regolato da un rapporto ben determinato tra la quantità di corrente che viene erogata attraverso la cella e la quantità di sostanza che si deposita o si sviluppa. L'elettrolisi, infatti, comporta lo scambio di un numero ben definito di elettroni tra la specie che reagisce e la superficie dell'elettrodo; pertanto si instaurerà una proporzionalità diretta tra queste due grandezze. Ciò permette la definizione della legge dell'elettrolisi di Faraday che definisce come la quantità di prodotto formato o di reagente consumato dalla corrente elettrica equivale stechiometricamente alla quantità di elettroni fornita. La cella elettrolitica è un particolare tipo di cella elettrochimica che a differenza delle celle galvaniche non produce elettricità grazie ad una reazione spontanea, ma attraverso una fonte di corrente esterna. Quindi è il dispositivo in cui avviene l'elettrolisi, che permette di separare la molecola dell'acqua nei suoi costituenti, l'idrogeno e l'ossigeno, per mezzo dell'elettricità.

L'elettrolisi è il metodo più conosciuto per la produzione di idrogeno, ma anche il meno utilizzato industrialmente per i costi ancora elevati, quindi nettamente superiori a quelli di altre tecnologie. Infatti si stima che il 70-80% del costo dell'idrogeno ottenuto per elettrolisi sia da attribuire al costo dell'elettricità. L'elettrolisi può risultare competitiva solo per piccole produzioni di idrogeno, con impianti realizzati in prossimità del sito di utenza, dal momento che si evitano i costi di distribuzione ed accumulo. Tuttavia bisogna considerare che l'elettrolisi dell'acqua permette la produzione di idrogeno altamente puro e permette un'elevata flessibilità se accoppiata a sistemi di generazione dell'energia elettrica caratterizzati da discontinuità di erogazione di potenza, quali l'eolico e il fotovoltaico (come nel nostro caso). Questa nuova frontiera di produzione di idrogeno



green diventa una validissima alternativa per l'impiego delle sorgenti rinnovabili, considerando anche la sua funzione di energy carrier, sarà più facile il trasporto di energia.



Figura 6 - Cryogenic tanks

Lo **stoccaggio di idrogeno** è una tecnologia chiave per la diffusione delle tecnologie dell'idrogeno e delle celle a combustibile per applicazioni quali la generazione stazionaria di energia elettrica, portatile e nei trasporti. La pianificazione dell'uso del suolo nonché il funzionamento e la manutenzione in sicurezza di tali tecnologie risultano di fondamentale importanza. Come accumulare l'idrogeno in modo efficiente, economico e sicuro è una delle sfide da superare per rendere l'idrogeno una delle fonti di energia più promettenti per il futuro. Attualmente esistono diverse modalità di accumulo dell'idrogeno. Ai sistemi più classici e più diffusi quali idrogeno compresso e liquido, si affiancano nuovi processi ancora in fase di studio o di ingegnerizzazione quali assorbimento chimico (idruri metallici, ammoniaca, idrocarburi) e fisico (nanotubi) dell'idrogeno. In particolare, l'idrogeno può essere immagazzinato fisicamente come gas compresso (CGH₂) o come liquido criogenico (LH₂). Generalmente, i sistemi di stoccaggio di idrogeno gassoso richiedono serbatoi di gas compresso, cioè serbatoi in grado di resistere a pressioni fino a 1000 bar. Lo stoccaggio dell'idrogeno

come liquido richiede temperature estremamente basse perché il suo punto di ebollizione a una pressione di 1 atm è -252,8 ° C. Mediante l'utilizzo di idrogeno liquido stoccato in silos adatti a contenerlo senza cambiarne le caratteristiche chimico-fisiche fondamentali, lo si può distribuire mediante pipelines alimentate da compressori, che deriveranno nella stazione di servizio per l'approvvigionamento di auto. Lo stoccaggio dell'idrogeno liquido richiede temperature criogeniche per evitare che ribollisca in un gas (che si verifica a - 252,8 ° C). Occorre qui fare attenzione, perché l'idrogeno liquido ha una densità di energia maggiore dell'idrogeno gassoso, in questi casi portarlo alle temperature richieste può essere molto costoso. Inoltre, i serbatoi di stoccaggio e le strutture per lo stoccaggio dell'idrogeno liquido criogenico devono essere isolati per impedire l'evaporazione nel caso in cui il calore venga trasportato nell'idrogeno liquido a causa di conduzione, convezione o radiazione.

L'idrogeno prodotto dagli elettrolizzatori sarà stoccato in adeguati silos in forma liquida, quindi mantiene la pressione di 1 atm, ma viene portato a -252,8°C, cercando di evitarne l'evaporazione, poiché esso in atmosfera può creare diversi pericoli. Il collegamento avviene mediante pipelines in acciaio in maniera da non alterare le caratteristiche chimico-fisiche del fluido

Attualmente le infrastrutture legate alle stazioni di rifornimento di idrogeno in Italia sono molto poco diffuse contrariamente alla tendenza europea. Il plant di una stazione di rifornimento ad idrogeno è molto simile a quelle a gas naturali quindi poco ingombrante e molto funzionale. Quindi, i veicoli a idrogeno e le infrastrutture di rifornimento e produzione sono complementari e devono entrambi penetrare con successo nel mercato dei trasporti per avere successo.



L'impianto di **distribuzione di idrogeno** deve essere dotato di impianti elettrici, di terra e di protezione dalle scariche elettriche atmosferiche realizzati secondo quanto indicato dalla legge n. 186 del 1° marzo 1968. L'alimentazione delle varie utenze, fatta eccezione per gli impianti idrici antincendio, deve essere intercettabile, oltre che dalla cabina elettrica, anche da un altro comando ubicato in posizione protetta. Le tubazioni e le strutture metalliche devono essere connesse con l'impianto generale di messa a terra.



Figura 7 - Stazione di rifornimento

Connessione elettrica

L'energia elettrica prodotta dall'impianto agrovoltaiico sarà immessa nella Rete di Trasmissione Nazionale (RTN) nello stallo assegnato da Terna, cui il collegamento avviene attraverso una stazione elettrica di utenza condivisa con altro produttore già autorizzata nell'ambito di un altro procedimento e adiacente alla Stazione Elettrica (SE) di Palo del Colle (BA) esistente. In tal modo si garantirà la razionalizzazione dell'utilizzo delle strutture di rete (come richiesto da Terna nella Soluzione Tecnica Minima Generale – STMG) e non sarà necessario in futuro costruire altre eventuali opere, evitando un ulteriore spreco di risorse e di materie prime, con evidenti benefici in termini di mitigazione e riduzione degli impatti.

Opere di connessione

Le opere connesse all'impianto fotovoltaico consentono il **trasferimento dell'energia elettrica** prodotta dall'impianto fv alla Rete di Trasmissione Nazionale o al sito di produzione, stoccaggio e distribuzione di idrogeno; possono essere riassunte come segue:

- **Cavidotto in media tensione per la connessione tra l'impianto di produzione e la stazione di elevazione AT**; la profondità complessiva del cavidotto sarà di 1,20 m, ciascuna delle tre fasi al suo interno sarà costituita da n. 5 corde da 300 mmq in alluminio e saranno direttamente interrate con posa ad elica visibile, al fine di ridurre l'ampiezza dei campi elettromagnetici generati. All'interno dello scavo sarà anche posato un monotubo per fibra



ottica (monomodale) per consentire la comunicazione tra parco e stazione; i cavi MT saranno protetti con un tegolino superiore e segnalati con opportuno nastro monitore posato a circa 80 cm di profondità.

- **Cavidotto in media tensione per la connessione tra l'impianto di produzione di energia elettrica e il sito di produzione e distribuzione di idrogeno;** la profondità e il tipo di posa del cavidotto saranno identiche per la connessione alla RTN. Tuttavia ciascuna delle tre fasi al suo interno sarà costituita da n.3 corde da 300mmq in alluminio. All'interno dello scavo sarà anche posato un monotubo per fibra ottica (monomodale) per consentire la comunicazione tra parco e sito produzione; i cavi MT saranno protetti con un tegolino superiore e segnalati con opportuno nastro monitore posato a circa 80 cm di profondità.

Per quanto concerne la produzione di idrogeno, parte della distribuzione avverrà sotto forma gassosa all'interno di un idrogenodotto interrato collegato al più vicino punto di smistamento della rete SNAM.



5 Riferimenti bibliografici

- [1] Agostini A., M. Colauzzi, S. Amaducci (2021). Innovative agrivoltaic systems to produce sustainable energy: An economic and environmental assessment. *Applied Energy* 281 (2021) 116102.
- [2] Abidin Z.M.A. Mahyuddin M.N., Mohd Zainuri M.A.A. (2021) Solar Photovoltaic Architecture and Agronomic Management in Agrivoltaic System: A Review. *Sustainability* 2021, 13, 7846. <https://doi.org/10.3390/su13147846>
- [3] Agnelli A. e Leonardi G. (a cura di), 2009 - Piano d'azione nazionale per il Capovaccaio (*Neophron percnopterus*). *Quad. Cons. Natura*, 30, Min. Ambiente - ISPRA.
- [4] Agnelli P., Martinoli A., Patriarca E., Russo D., Scaravelli D., Genovesi P., a cura di (2004). Linee guida per il monitoraggio dei Chirotteri: indicazioni metodologiche per lo studio e la conservazione dei pipistrelli in Italia. *Quad. Cons. Natura*, 19, Min. Ambiente – Ist. Naz. Fauna Selvatica.
- [5] Agnelli P., Russo D., Martinoli M. (a cura di), 2008. Linee guida per la conservazione dei Chirotteri nelle costruzioni antropiche e la risoluzione degli aspetti conflittuali connessi. Ministero dell'Ambiente e della Tutela del Territorio e del Mare, Ministero per i Beni e le Attività Culturali, Gruppo Italiano Ricerca Chirotteri e Università degli Studi dell'Insubria.
- [6] Andreotti A., Leonardi G. (a cura di) (2007). Piano d'azione nazionale per il Lanario (*Falco biarmicus feldeggii*). *Quad. Cons. Natura*, 24, Min. Ambiente – Ist. Naz. Fauna Selvatica.
- [7] APAT – Agenzia per la Protezione dell'Ambiente e dei servizi Tecnici, INU – Istituto Nazionale di Urbanistica (2003). Gestione delle aree di collegamento ecologico funzionale. Indirizzi e modalità operative per l'adeguamento degli strumenti di pianificazione del territorio in funzione della costruzione di reti ecologiche su scala locale. Manuali e linee guida, 26/2003.
- [8] Assennato F., G. Braca, C. Calzolari, A. Capriolo, M. di Leginoi, P. Giandon, M. Marchetti, D. Marino, R. Mascolo, E. Morri, D. Pettenella, P. Pileri, L. Sallustio, L. Salvati, R. Santolini, M. Soraci, A. Strollo, F. Terribile, F. Ungaro, I. Vinci, M. Munafò (2018). Mappatura e valutazione dell'impatto del consumo di suolo sui servizi ecosistemici: proposte metodologiche per il Rapporto sul consumo di suolo. ISPRA.
- [9] Aziz M. (2021). Liquid Hydrogen: A Review on Liquefaction, Storage, Transportation, and Safety. *Energies*, 2021, 14, 5917. <https://doi.org/10.3390/en14185917>.
- [10] Bagnouls F., Gaussen H. (1953). Saison sèche et indice xérotermique. *Doc. pour les Cartes des Prod. Végét. Serie: Généralités*, 1, 1-48.
- [11] Bagnouls F., Gaussen H. (1957). Les climats biologiques et leur classification. *Annales de Géographie*, 66, 193-220.
- [12] Barber J.R., Crooks K.R., Fristrup K.M. (2009). The costs of chronic noise exposure for terrestrial organisms. *Trends in Ecology and Evolution*, Vol. no.3, 180-189.
- [13] Bee M.A., E. M. Swanson (2007). Auditory masking of anuran advertisement calls by road traffic noise. *Animal Behaviour*, 2007, 74, 1765-1776.
- [14] Bennun, L., van Bochove, J., Ng, C., Fletcher, C., Wilson, D., Phair, N., Carbone, G. (2021). Mitigating biodiversity impacts associated with solar and wind energy development.



- Guidelines for project developers. Gland, Switzerland: IUCN and Cambridge, UK: The Biodiversity Consultancy.
- [15] Bertolini S., F.J. Borsani, A. Cacciuni, C. D’anna, F. De Maio, M. di Leginio, S. Fasano, P. Fiorletti, M. Flori, F. Fumanti, F. Giordano, F. Lena, M. Logorelli, L.C. Lorusso, G.M. Luberti, V. Lucia, G. Marsico, T. Pacione, M.A. Polizzotti, S. Rieti, F. Sacchetti, P. Sciacca, E. Taurino, S. Venturelli (2020). Valutazione di impatto ambientale. Norme tecniche per la redazione degli studi di impatto ambientale. ISBN 978-88-448-0995-9. Linee Guida SNPA, 28/2020.
- [16] Calvert, A. M., C. A. Bishop, R. D. Elliot, E. A. Krebs, T. M. Kydd, C. S. Machtans, and G. J. Robertson (2013). A synthesis of human-related avian mortality in Canada. *Avian Conservation and Ecology* 8(2): 11. <http://dx.doi.org/10.5751/ACE-00581-080211>
- [17] Cappelletti F., M. Gaeta, A. Gelmini, L. Mazzocchi, A. Rossetti, M. Scagliotti, C. Valli, C. Zagano (2021). Idrogeno. Un vettore energetico per la decarbonizzazione. RSEview. Malp, Adobe Stock, 2021.
- [18] Caputo A. (2021). Indicatori di efficienza e decarbonizzazione del sistema energetico nazionale e del settore elettrico. ISPRA - Rapporti 343/2021.
- [19] Casiello G., D. Carone, R. Centonze, A. F. Piccinni, G. B. Pisciotta, V. Ricco (2000). Stato dell’irrigazione in Puglia. INEA, Roma.
- [20] Cigolotti V., S.J. McPhail, M.C. Tommasino, A. Moreno (2019). HyLaw - La regolamentazione del settore Idrogeno e delle sue applicazioni in Italia. Italian Hydrogen and Fuel Cell Association – H2IT. Deliverable 3.5 – National Policy Paper.
- [21] Clewell A., J. Rieger, J. Muro (2005). Linee guida per lo sviluppo e la gestione di progetti di restauro ecologico. 2^a Edizione. Society for Ecological Restoration International. Traduzione di: L. Carotenuto. Revisione a cura di: R. Villa.
- [22] Colantoni A., G. Colla, M. Cecchini, D. Monarca, R. Ruggeri, F. Rossini, U. Bernabucci, R. Cortignani, N. Ripa, R. Primi, V. Di Stefano, L. Bianchini, R. Alemanno, S. Speranza, P.P. Danieli, E.M. Mosconi, A. Parenti, E. Guerriero, M.B. Di Stefano, R. Papili, D. Rotundo, M. Di Blasi, L. Di Campello, P. Ventura, A. Riberti, F. Gallucci, M. Manenti, M. Demofonti, L. Onnis, M. Lancellotta, G. Egidi, M. Uniformi, C. Falchetta (2021). Linee guida per l’applicazione dell’agro-fotovoltaico in Italia. ISBN 978-88-903361-4-0. <http://www.unitus.it/it/dipartimento/dafne>.
- [23] Contaldi M., Ilacqua M. (2003). Analisi dei fattori di emissione di CO2 dal settore dei trasporti. Metodo di riferimento IPCC, modello COPERT ed analisi dati sperimentali. Rapporti 28/2003.
- [24] Cripezzi V., A. Dembech, A. M. La Nave, M. Marrese, M. Cladarella (2001). La presenza della Lontra nel bacino del fiume Ofanto (Puglia, Basilicata e Campania). Stazione di monitoraggio ambientale dei Monti Picentini. III Convegno Nazionale “La Lontra (Lutra lutra) in Italia: Distribuzione, Censimenti e Tutela”. 30 novembre / 1, 2 dicembre 2001 – Montella (AV).
- [25] De Martonne E. (1926a). L’indice d’aridità. *Bull. Ass. Geogr. Fr.*, 9, 3-5.
- [26] De Martonne E. (1926b). Une nouvelle fonction climatologique: l’indice d’aridité. *Météorologique*, 2, 449-458.



- [27] De Philippis A. (1937). Classificazione ed indici del clima in rapporto alla vegetazione forestale italiana. Pubbl. Stazione Sperim. di Selvicoltura, Firenze.
- [28] De Vivo R., Zicarelli L. (2021). Influence of carbon fixation on the mitigation of greenhouse gas emissions from livestock activities in Italy and the achievement of carbon neutrality. *Transl. Anim. Sci.* 2021.5:1-11 doi: 10.1093/tas/txab042
- [29] Di Bene A., L. Scazzosi (a cura di) (2007). Gli impianti eolici: Suggerimenti per la progettazione e la valutazione paesaggistica. Ministero per i beni e le attività culturali. Direzione generale per i beni architettonici e paesaggistici. Servizio II – Paesaggio.
- [30] Diamond J.M. (1975). The Island dilemma: lesson on modern biogeographic studies for the design of natural reserve. *Biol. Conserv.*, 7: 129-145.
- [31] Dodd N., Espinosa N. (2021). Solar photovoltaics modules, inverters and systems: options and feasibility of EU Ecolabel and Green Procurement criteria. Preliminary report. JRC Technical Report.
- [32] Dupraz C., H. Marrou, G. Talbot, L. Dufour, A. Nogier, Y. Ferard (2011). Combining solar photovoltaic panel and food crops for optimising land use: Towards new agrivoltaic schemes. *Renewables Energy* 36 (2011) 2725-2732.
- [33] EEA – European Environmental Agency (1990). Corine Land Cover (CLC) 1990.
- [34] EEA – European Environmental Agency (2000). Corine Land Cover (CLC) 2000.
- [35] EEA – European Environmental Agency (2006). Corine Land Cover (CLC) 2006.
- [36] EEA – European Environmental Agency (2012). Corine Land Cover (CLC) 2012.
- [37] EEA – European Environmental Agency (2018). Corine Land Cover (CLC) 2018.
- [38] Emberger L. (1930a). La végétation de la région méditerranéenne. Essai d'une classification des groupements végétaux. *Revue de Botanique*, 503, 705-721.
- [39] Emberger L. (1930b). La végétation de la région méditerranéenne. Essai d'une classification des groupements végétaux. *Revue de Botanique*, 504, 705-721.
- [40] ENEL (2021). Future of Solar Photovoltaic Energy. How photovoltaic technology maintains competitiveness and contributes to the energy transition.
- [41] Erickson W.P., G.D. Johnson, D.P. Young (2005). A summary and comparison of bird mortality from anthropogenic causes with an emphasis on collisions. USDA Forest Service Gen. Tech. Rep. PSW-GTR-191.2005.
- [42] Fanchiotti A., E. Carnielo (2011). Impatto di cool material sulla mitigazione dell'isola di calore urbana e sui livelli di comfort termico degli edifici. ENEA-RSE, Ministero dello Sviluppo Economico, Università degli Studi Roma Tre. Report RdS/2011/145.
- [43] Fraleigh D.C., Heitmann J.B., Robertson B.A. (2021). Ultraviolet polarized light pollution and evolutionary traps for aquatic insects. *Animal behaviour* 180 (2021) 237-247.
- [44] Francis C.D., C.P. Ortega, Crus. A. (2009). Noise pollution changes avian communities and species interactions. *Current Biology* 19, 1415-1419.
- [45] Gann GD, McDonald T, Walder B, Aronson J, Nelson CR, Jonson J, Hallett JG, Eisenberg C, Guariguata MR, Liu J, Hua F, Echeverría C, Gonzales E, Shaw N, Decler K, Dixon KW (2019) International principles and standards for the practice of ecological restoration. Second edition. *Restoration Ecology* 27(S1): S1–S46.



- [46] Geburtig D., P. Preustera, A. Bösmanna, K. Müller, P. Wasserscheidac (2016). Chemical utilization of hydrogen from fluctuating energy sources – Catalytic transfer hydrogenation from charged Liquid Organic Hydrogen Carrier systems. *International Journal of Hydrogen Energy*, Volume 41, Issue 2, 12 January 2016, Pages 1010-1017 (<https://www.sciencedirect.com/science/article/pii/S0360319915303633>).
- [47] Greif, S., & Siemers, B. (2010). Innate recognition of water bodies in echolocating bats. *Nature Communications*, Nature Publishing Group, 1.
- [48] Greif, S., Zebok, S., & Siemers, B. (2017, September). Acoustic mirrors as sensory traps for bats. *Science*.
- [49] Harrison, C., Lloyd, H. and Field, C. (2016). Evidence review of the impact of solar farms on birds, bats and general ecology (No. (NEER012) 1st edition – 9th March 2017; p. 125). Natural England. Natural England [website]. Available at: <http://publications.naturalengland.org.uk/publication/6384664523046912>.
- [50] Horvath G., M. Blaho, A. Egri, G. Kriska, I. Seres, B. Robertson (2010). Reducing the maladaptive attractiveness of solar panels to polarotactic insects. *Conservation Biology*, Vol. 24, No. 6, 1644-1653.
- [51] Howell E. A., J.A. Harrington, S.B. Glass (2013). *Introduction to Restoration Ecology. Instructor’s Manual*. Island Press, Washington, Covelo, London.
- [52] HySafe – International Association for Hydrogen Safety (2007). *Biennial Report On Hydrogen Safety. Version 1.0*.
- [53] IRP (2019). *Land Restoration for Achieving the Sustainable Development Goals: An International Resource Panel Think Piece*. Herrick, J.E., Abrahamse, T., Abhilash, P.C., Ali, S.H., Alvarez-Torres, P., Barau, A.S., Branquinho, C., Chhatre, A., Chotte, J.L., Cowie, A.L., Davis, K.F., Edrisi, S.A., Fennessy, M.S., Fletcher, S., Flores-Díaz, A.C., Franco, I.B., Ganguli, A.C., Speranza, C.I, Kamar, M.J., Kaudia, A.A., Kimiti, D.W., Luz, A.C., Matos, P., Metternicht, G., Neff, J., Nunes, A., Olaniyi, A.O., Pinho, P., Primmer, E., Quandt, A., Sarkar, P., Scherr, S.J., Singh, A., Sudoi, V., von Maltitz, G.P., Wertz, L., Zeleke, G. A think piece of the International Resource Panel. United Nations Environment Programme, Nairobi, Kenya
- [54] Jaeger Jochen A.G. (2000). Landscape division, splitting index, and effective mesh size: new measures of landscape fragmentation. *Landscape Ecology* 15: 115-130, 2000
- [55] Jacquet, F., Jeuffroy, MH., Jouan, J. et al. (2022). Pesticide-free agriculture as a new paradigm for research. *Agron. Sustain. Dev.* 42, 8.
- [56] Kagan RA, Viner TC, Trail PW, Espinoza EO (2014). Avian mortality at solar energy facilities in southern California: a preliminary analysis. *National Fish and Wildlife Forensic Laboratory*. 2014; 28.
- [57] Klingebiel, A.A., Montgomery, P.H., (1961) - Land capability classification. *USDA Agricultural Handbook 210*, US Government Printing Office, Washington, DC.
- [58] Kosciuch K., D. Riser-Espinoza, M. Geringer, W. Erickson (2020). A summary of bird mortality at photovoltaic utility scale solar facilities in the Southwestern U.S. *PLoS ONE* 15(4): e0232034.
- [59] Lammerant L., Laureysens, I. and Driesen, K. (2020) Potential impacts of solar, geothermal and ocean energy on habitats and species protected under the Birds and Habitats



- Directives. Final report under EC Contract ENV.D.3/SER/2017/0002 Project: “Reviewing and mitigating the impacts of renewable energy developments on habitats and species protected under the Birds and Habitats Directives”, Arcadis Belgium, Institute for European Environmental Policy, BirdLife International, NIRAS, Stella Consulting, Ecosystems Ltd, Brussels.
- [60] Lantieri Adrien, Zuzana Lukacova, Jennifer McGuinn, and Alicia McNeill (2017). Environmental Impact Assessment of Projects Guidance on the preparation of the Environmental Impact Assessment Report (Directive 2011/92/EU as amended by 2014/52/EU).
- [61] Laudicina V. A., A. Novara, L. Gristina, L. Baldalucco (2014). Soil carbon dynamics as affected by long-term contrasting cropping systems and tillage under semiarid Mediterranean climate. *Applied Soil Ecology*, 73 (2014) 140-147.
- [62] Lavarra P., P. Angelini, R. Augello, P. M. Bianco, R. Capogrossi, R. Gennaio, V. La Ghezza, M. Marrese (2014). Il sistema Carta della Natura della regione Puglia. ISPRA, Serie Rapporti, 204/2014
- [63] Legambiente (2007). Agrivoltaico: le sfide per un’Italia agricola e solare.
- [64] Lozzi M., M. Alpino, L. Centoducati, O. Clemente, V. Mariani, M. Paolicelli, V. Savino (2021). Economie regionali. L’economia in Puglia. Rapporto annuale, n.16 – giugno 2021. Banca d’Italia Eurosystema.
- [65] Lugo-Laguna D., Arcos-Vargas A., Nuñez-Hernandez F. (2021). A European Assessment of the Solar Energy Cost: Key Factors and Optimal Technology. *Sustainability* 2021, 13, 3238. <https://doi.org/10.3390/su13063238>.
- [66] Macchia F., Cavallaro V., Forte L., Terzi M. Vegetazione e clima del l a Puglia. In: Marchiori S. (ed.), De Castro F. (ed.), Myrta A. (ed.). La cooperazione italo-albanese per la valorizzazione della biodiversità. Bari: CIHEAM, 2 000. p. 33-49 (Cahiers Options Méditerranéen nes; n . 53).
- [67] Meloni F., Lonati M., Martelletti S., Pintaldi E., Ravetto Enri S., Freppaz M., (2019) - Manuale per il restauro ecologico di aree planiziali interessate da infrastrutture lineari, ISBN: 978-88-96046-02-9. Regione Piemonte.
- [68] Meshyk A.P., Meshyk K.A., Barushka M.V., Marozava V.A. (2021). Estimation of operational efficiency of fixed and solar tracking PV systems in Belarus climate. *Geocology* doi.org/10.36773/1818-1112-2021-126-3-85-87.
- [69] Mitja Mori, Grega Štern (2016). LCA study of the Fuel Cell based UPS in manufacturing and operational phase. PROCEEDINGS OF ECOS 2016 - THE 29TH INTERNATIONAL CONFERENCE ON EFFICIENCY, COST, OPTIMIZATION, SIMULATION AND ENVIRONMENTAL IMPACT OF ENERGY SYSTEMS JUNE 19-23, 2016, PORTOROŽ, SLOVENIA.
- [70] Montag, H., Parker, G., & Clarkson, T. (2016). The Effects of Solar Farms on Local Biodiversity; A Comparative Study. Clarkson and Woods and Wychwood Biodiversity.
- [71] Morari F., E. Lugato, A. Berti, L. Giardini (2006). Long-term effects on recommended management practices on soil carbon changes and sequestration in north-eastern Italy. *Soil Use and Management*, March 2006, 22, 71-81.



- [72] Moser Brigitte, Jochen A.G. Jaeger, Ulrike Tappeiner, Erich Tasser, Beatrice Eiselt (2007). Modification of the effective mesh size for measuring landscape fragmentation to solve the boundary problem. *Landscape Ecol.* (2007) 22:447-459.
- [73] Munafò M. (a cura di) (2018). Consumo di suolo, dinamiche territoriali e servizi ecosistemici. Edizione 2018. Rapporti 288/2018.
- [74] Munafò M. (a cura di) (2021). Consumo di suolo, dinamiche territoriali e servizi ecosistemici. Edizione 2021. Report SNPA 22/21
- [75] Novas, N., Garcia, R.M., Camacho, J.M., Alcayde, A. (2021) Advances in Solar Energy towards Efficient and Sustainable Energy. *Sustainability* 2021, 13, 6295. <https://doi.org/10.3390/su13116295>
- [76] Nurgeldy Praliyev, Kassym Zhunis, Yeraly Kalel, Dinara Dikhanbayeva, Luis Rojas-Solórzano (2020) Impact of both One- and Two-axis Solar Tracking on the Techno-Economic Viability of On-Grid PV Systems: Case of the Burnoye-1 Power Plant, Kazakhstan. *International Journal of Sustainable Energy Planning and Management* Vol. 29 2020 79–90
- [77] Palmer Graham, Ashley Roberts, Andrew Hoadley, Roger Dargaville and Damon Honner (2021). “Life-cycle greenhouse gas emissions and net energy assessment of large-scale hydrogen production via electrolysis and solar PV” *Energy Environ. Sci.*, doi: 10.1039/D1EE01288F
- [78] Paternò G.C. (2004). Stoccaggio dell’Idrogeno. Convegno Nazionale Valutazione e Gestione del Rischio negli Insediamenti Civili e Industriali. Pisa, 19-21 ottobre 2004.
- [79] Paton D., F. Romero, J. Cuenca, J.C. Escudero (2012). Tolerance to noise in 91 bird species from 27 urban gardens of Iberian Peninsula. *Landscape and Urban Planning* 104 (2012), 1-8.
- [80] Pavari A. (1916). Studio preliminare sulla coltura di specie forestali esotiche in Italia. *Annali del Regio Istituto Superiore Forestale Nazionale*, 1, 160-379.
- [81] Pavari A. (1959). *Scritti di ecologia, selvicoltura e botanica forestale*. Pubblicazioni dell’Acc. Italiana di Scienze Forestali Tip. B Coppini e C., Firenze.
- [82] Pignatti S. (1982). *Flora d’Italia*. Edagricole, Bologna.
- [83] Piotto B., Di Noi A. (2001). Propagazione per seme di alberi e arbusti della flora mediterranea. Ed. ANPA
- [84] Piovano S. e C. Giacoma (2002). Testuggini alloctone in Italia: il caso di *Trachemys*. Atti del convegno nazionale “La gestione delle specie alloctone in Italia: il caso della nutria e del gambero rosso della Louisiana”. Firenze, 24-25 ottobre 2002.
- [85] Piussi Pietro (1994). *Selvicoltura generale*. Torino, UTET.
- [86] Pollanti M. (2010). Linee guida per il trattamento dei suoli nei ripristini ambientali legati alle infrastrutture. Manuali e linee guida ISPRA, 65.2/2010.
- [87] Prabhu, V.S., Shrivastava, S. & Mukhopadhyay, K. (2021) Life Cycle Assessment of Solar Photovoltaic in India: A Circular Economy Approach. *Circ.Econ.Sust.* <https://doi.org/10.1007/s43615-021-00101-5>
- [88] Prade T., T. Katterer, L. Björnsson (2017). Including a one-year grass ley increases soil organic carbon and decreases greenhouse gas emission from cereal-dominated rotations. A Swedish farm case study. *Biosystems Engineering* 164 (2017) 200-212.



- [89] Premuda G., Ceccarelli P.P., Fusini U., Vivarelli W., Leoni G. (2008). Eccezionale presenza di grillaio, Falco naumanni, in Emilia Romagna in periodo post-riproduttivo. Riv. Ital. Orn., Milano, 77(2): 101-106.
- [90] Quarato D., S. Concetti, A. Genovesi, S. Tersigni, C. Sermoneta (2021). Stime degli usi idrici per la zootecnia. Risultati applicativi del modello. CREIAMO PA, 2021 L6WP1 - Workshop, Zootecnia 06 aprile 2021.
- [91] Quézel P. (1985). Definition of the mediterranean region and the origin of its flora. In Gomez-Campo C.L., Plant conservation in the Mediterranean Area. Junk, La Hauge, p.9-24.
- [92] Quézel P. (1995). La flore du bassin méditerranéen: origine, mise en place, en place, endémisme. Ecologia Mediterranea, 21, pagg. 19-39.
- [93] Quezel P. (1998). Caracterisation des forets mediterranéennes. In: Empresa de Gestion Medioambiental S.A. (Consejería de Medio Ambiente Junta de Andalucía, ed.). Conferencia internacional sobre la conservacion y el uso sostenible del monte mediterranean. 28-31 ottobre 1998, Malaga, pagg. 19-31.
- [94] Rodriguez-Gallegos Carlos D., Haohui Liu, Oktoviano Gandhi, Jai Prakash Singh, Vijay Krishnamurthy, Abhishek Kumar, Joshua S. Stein, Shitao Wang, Li Li, Thomas Reindl, and Ian Marius Peters (2021). Global Techno-Economic Performance of Bifacial and Tracking Photovoltaic Systems. Joule 4, 1514–1541.
- [95] Rossi V., N. Ardinghi, M. Cenni, M. Ugolini (2002). Fondamenti di restauro ecologico della SER. International. Gruppo di lavoro Scienza e Politica. Versione italiana – 28-3-03.
- [96] Ruddock M, D.P. Whitfield (2007). A review of disturbance distances in selected bird species. A report from Natural Research (Projects) Ltd to Scottish Natural Heritage.
- [97] Sharp, R., Douglass, J., Wolny, S., Arkema, K., Bernhardt, J., Bierbower, W., Chaumont, N., Denu, D., Fisher, D., Glowinski, K., Griffin, R., Guannel, G., Guerry, A., Johnson, J., Hamel, P., Kennedy, C., Kim, C.K., Lacayo, M., Lonsdorf, E., Mandle, L., Rogers, L., Silver, J., Toft, J., Verutes, G., Vogl, A. L., Wood, S, and Wyatt, K. 2020, InVEST 3.10.0.post27+ug.g2392339 User’s Guide. The Natural Capital Project, Stanford University, University of Minnesota, The Nature Conservancy, and World Wildlife Fund.
- [98] Szaz D., D. Mihalyi, A. Farkas, A. Egri, A. Barta, G. Kriska, B. Robertson, G. Horvath (2016). Polarized light pollution of matte solar panels: anti-reflective photovoltaics reduce polarized light pollution but benefit only some aquatic insects. JICO-D-16-00032-R1
- [99] Tariq J. (2019). Incorporating LCA in Sola PV Design and Planning for Sustainability Optimization. Thesis. European University of Flensburg.
- [100] Trina Solar (2020). Corporate Sociale Responsibility Report.
- [101] Trommsdorff Max, Simon Gruber, Tobias Keinath, Michaela Hopf, Charis Hermann, Frederik Schönberger, apl. Prof. Dr. Petra Högy, Dr. Sabine Zikeli, Andrea Ehmann, Axel Weselek, Prof. Dr. Ulrich Bodmer, Dr. Christine Rösch, Dr. Daniel Ketzner, Nora Weinberger, Stephan Schindele, Jens Vollprecht (2020). Agrivoltaics: Opportunities for agriculture and the energy transition. October 2020. A guideline for Germany.
- [102] Urban M.C. (2015) Accelerating extinction risk from climate change. Science. 2015; 348: 571–573. <https://doi.org/10.1126/science.aaa4984> PMID: 25931559.



- [103] Walston L.J.J., K.E. Rollins, K.E. LaGory, K.P. Smith (2015). A review of avian monitoring and mitigation information at existing utility-scale solar facilities. Argonne National Laboratory. Environmental Science Division ANL/EVS-15/2.
- [104] Walston L.J.J., K.E. Rollins, K.E. LaGory, K.P. Smith, S.A. Meyers (2016). A preliminary assessment of avian mortality at utility-scale solar energy facilities in the United States. Renewable Energy 92 (2016) 405-414.
- [105] Walter H., Lieth H. (1960). Klimadiagramma-Weltatlas. G. Fisher Verlag., Jena.
- [106] Weckend S., A. Wade, G. Heath (2016). End-of-Life management. Solar Photovoltaic Panels. IRENA – International Renewable Energy Agency.
- [107] Weselek A., A. Ehmann, S. Zikeli, I. Lewandoski, S. Schindele, P. Hogy (2019). Agrophotovoltaic systems: applications, challenges and opportunities. A review. Sustainability 2021, 13, 6871.
- [108] Wulf C., Kaltschmitt M. (2018). Hydrogen supply chains for mobility. Environmental and economical assessment. Sustainability, 2018, 10, 1699; doi:10.3390/su10061699.
- [109] Wunsch A., M. Mohr, P. Pfeifer (2018). Intensified LOHC-Dehydrogenation using multi-stage microstructures and Pd-based membranes. Membranes 2018, 8, 112; doi:10.3390/membranes8040112).